



МОСКОВСКИЙ ГОСУДАРСТВЕННЫЙ УНИВЕРСИТЕТ ИМЕНИ М. В. ЛОМОНОСОВА

Факультет вычислительной математики и кибернетики

Кафедра системного анализа

Егоров Кирилл Юлианович

Математическое моделирование движений руки, держащей предмет

ВЫПУСКНАЯ КВАЛИФИКАЦИОННАЯ РАБОТА

Научный руководитель

к.ф.-м.н., доцент И. В. Востриков

Москва, 2023

Содержание

1	Математическое моделирование	3
1.1	Планарная модель руки, держащей предмет	3
1.2	Уравнение динамики	4
1.3	Учёт энергетических затрат	6
2	Постановка задачи	8
2.1	Непрерывная постановка задачи	8
2.2	Дискретизация задачи	9
3	Синтез оптимального управления	11
3.1	Описание метода	11
3.2	Синтез оптимальной поправки	12
3.3	Регуляризация оптимальной поправки	15
3.4	Алгоритм	16
4	Синтез начального референсного управления	19
4.1	Описание метода	19
4.2	Синтез управления	20
4.3	Алгоритм	23

1 Математическое моделирование

1.1 Планарная модель руки, держащей предмет

Рассмотрим руку человека, держащего стержень. В некотором приближении можно считать, что мы имеем трехсекционный математический маятник. Для каждого из 3-х сочленений нам известны:

1. Масса сочленения m_i , $i = 1, 2, 3$;
2. Линейная плотность сочленения $\rho_i = \rho_i(x)$, $0 \leq x \leq l_i$, $i = 1, 2, 3$;
3. Длина сочленения l_i , $i = 1, 2, 3$;
4. Угол поворота сочленения θ_i , $i = 1, 2, 3$ относительно оси абсцисс Oe_1 .

Также считаем, что положение плечевого сустава фиксировано для определенности в точке $O = (0, 0)$. На Рис. 1 приведена схема с примером данного маятника и соответствующая позиция человека.



Рис. 1: Иллюстрация предложенной модели. Рисунок слева сгенерирован нейросетью *Lexica Aperture* по текстовому запросу и приведен для визуального соответствия сочленений маятника на схеме с частями тела человека.

1.2 Уравнение динамики

Для получения уравнения динамики рассматриваемой физической системы воспользуемся методом Эйлера–Лагранжа [11]. Идея метода состоит в проведении следующих последовательных шагов:

1. Выбор обобщенных координат;
2. Получение выражения для кинетической K и потенциальной Π энергий системы, записанных в обобщенных координатах;
3. Получение выражения для лагранжиана системы \mathcal{L} ;
4. Составление системы уравнений движения, соответствующих каждой обобщенной координате.

Обобщенными координатами для нашей системы выберем углы поворота сочленений θ_i , $i = 1, 2, 3$. Далее перейдем к выражению энергий через обобщенные координаты.

Для подсчета кинетической энергии воспользуемся теоремой Кёнинга [ссылка куда-то].

Теорема 1 (Кёнинг). *Кинетическая энергия тела есть энергия поступательного движения центра масс плюс энергия вращательного движения относительно центра масс*

$$K = \frac{1}{2}m\|v_c\|^2 + \frac{1}{2}\omega^T I \omega, \quad (1.1)$$

где m — полная масса тела, I — тензор инерции тела, v_c — линейная скорость центра масс, ω — скорость вращения тела относительно центра масс.

Далее в работе мы будем полагать, что каждое из сочленений представляет собой однородный стержень длины l_i массы m_i . В таком случае получаем следующие значения для положения центра масс $c^i \in \mathbb{R}^2$ i -ого сочленения:

$$c^i = \begin{bmatrix} \sum_{j=1}^{i-1} l_j \cos \theta_j + \frac{l_i}{2} \cos \theta_i \\ \sum_{j=1}^{i-1} l_j \sin \theta_j + \frac{l_i}{2} \sin \theta_i \end{bmatrix}.$$

Выражения для момента инерции и скорости вращательного движения относительно центра масс для стержня получаются соответственно:

$$I_i = \int_{(m_i)} r^2 dm = \rho_i \int_{(l_i)} r^2 dl = \frac{m_i l_i^2}{12},$$

$$\omega_i = 2\dot{\theta}_i.$$

Потенциальная энергия i -ого сочленения рассчитывается по формуле

$$\Pi_i = m_i g c_2^i,$$

где $g \approx 9,8$ — ускорение свободного падения.

Общая кинетическая и потенциальная энергии системы рассчитываются как сумма энергий каждого из сочленений:

$$K = \sum_{i=1}^3 K_i = \sum_{i=1}^3 \left(\frac{m_i \|\dot{c}^i\|^2}{2} + \frac{m_i l_i^2 |\dot{\theta}_i|^2}{6} \right),$$

$$\Pi = \sum_{i=1}^3 \Pi_i = \sum_{i=1}^3 m_i g c_2^i.$$

Теперь введём лагранжиан системы

$$\mathcal{L} = K - \Pi$$

и построим систему уравнений Эйлера–Лагранжа [ссылка]:

$$\frac{d}{dt} \frac{\partial \mathcal{L}}{\partial \dot{\theta}_i} - \frac{\partial \mathcal{L}}{\partial \theta_i} = \tau_i, \quad i = \overline{1, 3}, \quad (1.2)$$

где τ_i — момент силы, действующий на i -ое сочленение, который доступен для управления.

Продифференцировав члены из левой части уравнения (1.2), получим уравнение динамики для рассматриваемой системы:

$$M(\theta)\ddot{\theta} + L(\theta, \dot{\theta}) = \tau, \quad (1.3)$$

где $M(\theta) = M^T(\theta) \in \mathbb{R}^{3 \times 3}$ — матрица инерции системы, $L(\theta, \dot{\theta}) \in \mathbb{R}^3$ — вектор центростремительных и кореолисовых сил. На Рис. 2 приведено численное моделирование свободного падения в соответствии с полученным уравнением динамики (1.3).

Замечание 1. Матрица инерции $M(\theta)$ является положительно-определённой, поскольку кинетическая энергия системы K всегда неотрицательна:

$$K(\theta, \dot{\theta}) = \frac{1}{2} \langle \dot{\theta}, M(\theta) \dot{\theta} \rangle > 0 \text{ для любого } \dot{\theta} \neq 0.$$

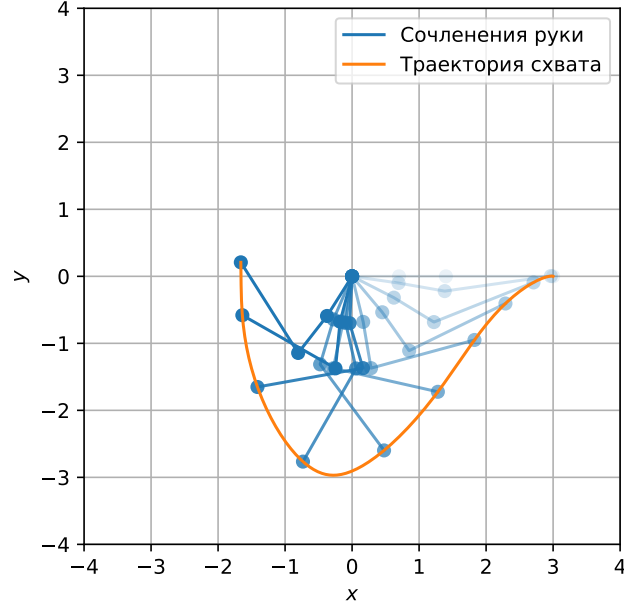


Рис. 2: Траектория руки $l = [0,7 \ 0,7 \ 1,6]^T$, $m = [0,8 \ 0,8 \ 1,2]^T$ в свободном падении из начального положения $\theta^{\text{start}} = [0 \ 0 \ 0]^T$, $\dot{\theta}^{\text{start}} = [0 \ 0 \ 0]^T$ на временном интервале $0 \leq t \leq 1$. Положения, соответствующие более раннему времени, показаны бледнее. Всюду далее работе для численного моделирования используется данная конфигурация маятника l, m .

1.3 Учёт энергетических затрат

Для моделирования биологического движения необходимо выяснить, какими принципами руководствуется мозг при выборе траектории для некоторого целевого движения. Существует бесконечное число возможных путей и профилей скорости для перемещения руки из одной точки в другую, и каждая траектория может достигнута несколькими возможными комбинациями углов между сочленениями. При этом нервная и моторно-двигательные системы человека для выбора одной конкретной траектории анализируют большой объем информации, поступающий от всех органов чувств.

В силу того, что нервная система человека есть результат оптимизационных процессов: эволюции, адаптации к условиям среды, обучения, мы постулируем следующий биологический принцип оптимальности.

Утверждение 1 (Биологический принцип оптимальности). *Выбираемые нервной системой схемы движения являются оптимальными для поставленной задачи.*

Применение данного принципа позволяет не только моделировать движения методами оптимального управления, но и анализировать их причины.

В работе [2] было показано, что оптимизации проводятся с целью уменьшения затрат энергии. Однако общего подхода к формализации энергетических затрат пока не выработано. Так, например, в работе [4] предлагается минимизировать *рывок* схвата, то есть

$$\int_{t_{\text{start}}}^{t_{\text{final}}} \left\| \frac{d^3 e^3}{dt^3} \right\|^2 dt \longrightarrow \min,$$

а в работе [10] — изменение крутящего момента

$$\int_{t_{\text{start}}}^{t_{\text{final}}} \left\| \frac{d\tau}{dt} \right\|^2 dt \longrightarrow \min. \quad (1.4)$$

Причём существуют и другие менее популярные варианты, например, [3].

Мы будем использовать для формализации энергетических затрат выражение (1.4), поскольку данный критерий напрямую зависит от динамики руки и лучше согласуется с эмпирическими данными, чем модель рывка.

2 Постановка задачи

2.1 Непрерывная постановка задачи

Поставим задачу целевого управления для модели, построенной в Разделе 1. Для этого рассмотрим расширенное фазовое пространство с состоянием

$$x = [\theta \ \dot{\theta} \ \tau]^T \in \mathbb{R}^9.$$

Тогда уравнение динамики системы (1.3) можно переписать в виде системы однородных дифференциальных уравнений

$$\dot{x} = A(x) + Bu, \quad (2.1)$$

где

$$A(x) = \begin{bmatrix} x_2 \\ M^{-1}(x_1)(x_3 - L(x_1, x_2)) \\ O \end{bmatrix}, \quad B = \begin{bmatrix} O \\ O \\ I \end{bmatrix}.$$

Считаем, что для данной системы поставлена задача Коши, то есть нам известно начальное состояние системы

$$x(t_0) = x^{\text{start}}. \quad (2.2)$$

Замечание 2. Отметим, что для выполнения достаточных условий существования и единственности решения Каратеодори для задачи Коши (2.1)-(2.2) управление u достаточно брать из класса измеримых на рассматриваемом отрезке $t_{\text{start}} \leq t \leq t_{\text{final}}$ функций.

Для задачи Коши (2.1)-(2.2) поставим задачу поиска управления $u \in U[t_{\text{start}}, t_{\text{final}}]$, минимизирующего функционал вида:

$$J = q^{\text{final}}(x(t_{\text{final}})) + w_1 \int_{t_{\text{start}}}^{t_{\text{final}}} q(x(t)) dt + w_2 \int_{t_{\text{start}}}^{t_{\text{final}}} r(u(t)) dt, \quad (2.3)$$

где q^{final} , q отвечают за терминальное и фазовые ограничения соответственно и выбираются в зависимости от конкретной постановки задачи, а r отвечает за энергетические затраты и в соответствии с (1.4) равна:

$$r(u) = \|u\|^2,$$

а w_1, w_2 — веса соответствующих критериев для данной многокритериальной задачи.

Для дальнейших рассуждений потребуем, чтобы функции q^{final}, q были дважды непрерывно дифференцируемыми. Полученные из модели функции A и r заведомо удовлетворяют этому требованию.

Замечание 3. Учёт фазовых ограничений в интегральной части функционала качества J , представленный в работе, позволяет лишь приближенно уписать условия вида

$$g_i(x) \leq 0,$$

которые часто встречаются в задачах, например, для обхода препятствия. Для этого функция q выбирается таким образом, чтобы штрафовать за приближение траектории к препятствию. Для строго формального решения задачи с подобным условием, необходимо пользоваться методами расширенного лагранжиана [1], которые предполагают решение серии задач типа (2.1)-(2.2)-(2.3). Это приводит к существенному ухудшению асимптотики алгоритмов и тем самым увеличению времени работы программного решения.

2.2 Дискретизация задачи

Для удобства дальнейших рассуждений дискретизируем задачу (2.1)-(2.2)-(2.3) по времени $t_{\text{start}} \leq t \leq t_{\text{final}}$. Для этого введем равномерную сетку с шагом Δt :

$$\{t_i\}_{i=1}^{N+1}, \quad t_1 = t_{\text{start}}, \quad t_{N+1} = t_{\text{final}}, \quad t_{i+1} - t_i = \Delta t.$$

Тогда, сузив класс допустимых управлений до кусочно-постоянных, получаем дискретный вариант рассматриваемой задачи Коши (2.1)-(2.2):

$$\begin{cases} x^{k+1} = f(x^k, u^k), & k = \overline{1, N}, \\ x^1 = x^{\text{start}}, \end{cases} \quad (2.4)$$

где

$$f(x^k, u^k) = \Delta t (A(x^k) + Bu^k) + x^k.$$

При этом функционал (2.3) для дискретной задачи приобретет вид

$$J = q^{N+1}(x^{N+1}) + \sum_{k=1}^N q^k(x^k) + \sum_{k=1}^N r^k(u^k), \quad (2.5)$$

где

$$q^{N+1} = q^{\text{final}}, \quad q^k = w_1 q \Delta t, \quad r^k = w_2 r \Delta t \quad k = \overline{1, N}.$$

3 Синтез оптимального управления

3.1 Описание метода

Есть два базовых метода для решения задач типа (2.4)-(2.5):

1. Метод дифференциального динамического программирования (DDP) [8], [9];
2. Метод итеративного линейно-квадратичного регулятора (iLQR) [6].

Оба метода итеративны и требуют на каждой итерации некоторое *референсное* управление \bar{u} и соответствующую ему референсную траекторию \bar{x} . Далее в работе под референсной траекторией понимается пара (\bar{u}, \bar{x}) . Вдоль данной траектории задача Коши и функционал качества полиномиально аппроксимируются. После чего к аппроксимированной системе применяется соответствующий метод. Результатом итерации является поправка на референсное управление δu .

Метод DDP строит поправку как градиент гамильтониана аппроксимированной задачи

$$\delta u^k = \alpha \nabla_u H(\bar{u}^k),$$

метод iLQR — как линейно-квадратичный регулятор.

Считается, что метод iLQR более надежный, так как не подвержен проблемам, присущим градиентным методам, таким как остановка в локальном минимуме, но сходится за большее число итераций, чем метод DDP. Однако при проведении сравнения скорости сходимости на конкретных примерах выясняется, что нельзя заранее предсказать, какой метод покажет себя лучше [7].

В данной работе применяется метод iLQR. Его основная идея:

1. На каждой итерации имеем референсную траекторию (\bar{u}, \bar{x}) ;
2. Вдоль референсной траектории линеаризуем задачу Коши и аппроксимируем функционал качества до второго порядка;
3. Строим поправку на управление δu как линейно-квадратичный регулятор аппроксимированной задачи;

4. Если не выполнено терминальное условие $|J(\bar{u}) - J(\bar{u} + \delta u)| < \varepsilon$ используем поправленное управление $\bar{u} + \delta u$ в качестве референсного на следующей итерации алгоритма.

3.2 Синтез оптимальной поправки

Допустим мы имеем некоторое референсное управление $\bar{u} = \{\bar{u}^k\}_{k=1}^N$ и соответствующую ему референсную траекторию $\bar{x} = \{\bar{x}^k\}_{k=1}^{N+1}$. Введем обозначения:

$$\begin{aligned} f_x^k &= \left. \frac{\partial f}{\partial x} \right|_{(\bar{x}^k, \bar{u}^k)}, & f_u^k &= \left. \frac{\partial f}{\partial u} \right|_{(\bar{x}^k, \bar{u}^k)}, \\ q^k &= q(\bar{x}^k), & q_x^k &= \left. \frac{\partial q}{\partial x} \right|_{\bar{x}^k}, & q_{xx}^k &= \left. \frac{\partial^2 q}{\partial x^2} \right|_{\bar{x}^k}, \\ r^k &= r(\bar{u}^k), & r_x^k &= \left. \frac{\partial r}{\partial u} \right|_{\bar{u}^k}, & r_{xx}^k &= \left. \frac{\partial^2 r}{\partial u^2} \right|_{\bar{u}^k}. \end{aligned}$$

Тогда, линеаризуя вдоль референсной траектории задачу Коши (2.4) и строя квадратичную аппроксимацию вдоль той же траектории функционала качества (2.5), получаем следующую задачу:

$$\begin{cases} \delta x^{k+1} = f_x^k \delta x + f_u^k \delta u, & k = \overline{1, N}, \\ \delta x^1 = 0. \end{cases} \quad (3.1)$$

$$\begin{aligned} J &= q^{N+1} + q_x^{N+1} \tilde{x}^{N+1} + \frac{1}{2} \langle \tilde{x}^{N+1}, q_{xx}^{N+1} \tilde{x}^{N+1} \rangle + \\ &+ \sum_{k=1}^N \left[q^k + q_x^k \tilde{x}^k + \frac{1}{2} \langle \tilde{x}^k, q_{xx}^k \tilde{x}^k \rangle \right] + \\ &+ \sum_{k=1}^N \left[r^k + r_u^k \tilde{u}^k + \frac{1}{2} \langle \tilde{u}^k, r_{uu}^k \tilde{u}^k \rangle \right], \end{aligned} \quad (3.2)$$

где

$$\tilde{x}^k = \bar{x}^k + \delta x^k, \quad \tilde{u}^k = \bar{u}^k + \delta u^k.$$

Построим гамильтониан для задачи (3.1)-(3.2):

$$\begin{aligned} H_k &= q^k + q_x^k \tilde{x}^k + \frac{1}{2} \langle \tilde{x}^k, q_{xx}^k \tilde{x}^k \rangle + \\ &+ r^k + r_u^k \tilde{u}^k + \frac{1}{2} \langle \tilde{u}^k, r_{uu}^k \tilde{u}^k \rangle + \\ &+ (\lambda^{k+1})^T (f_x^k \delta x^k + f_u^k \delta u^k), \end{aligned} \quad (3.3)$$

где λ^{k+1} — мультипликаторы Лагранжа.

Оптимальное управление δu должно удовлетворять необходимому условию $\frac{\partial H_k}{\partial u^k} = 0$:

$$r_u^k + r_{uu}^k(\bar{u}^k + \delta u^k) + (f_u^k)^T \lambda^{k+1} = 0.$$

что дает следующее выражение для поправки:

$$\delta u^k = -(r_{uu}^k)^{-1}[(f_u^k)^T \lambda^{k+1} + r_u^k] - \bar{u}^k. \quad (3.4)$$

При этом имеет силу сопряженная задача:

$$\begin{cases} \lambda^k = (f_x^k)^T \lambda^{k+1} + q_x^k + q_{xx}^k(\bar{x}^k + \delta x^k) \\ \lambda^{N+1} = q_x^{N+1} + q_{xx}^{N+1}(\bar{x}^{N+1} + \delta x^{N+1}). \end{cases} \quad (3.5)$$

Из (3.4) и (3.5) вытекает

$$\begin{pmatrix} \delta x^{k+1} \\ \lambda^k \end{pmatrix} = \underbrace{\begin{pmatrix} f_x^k & -f_u^k(r_{uu}^k)^{-1}(f_u^k)^T \\ q_{xx}^k & (f_x^k)^T \end{pmatrix}}_{\Phi^k} \begin{pmatrix} \delta x^k \\ \lambda^{k+1} \end{pmatrix} + \underbrace{\begin{pmatrix} -f_u^k(r_{uu}^k)^{-1}r_u^k \\ q_x^k \end{pmatrix}}_{\Gamma^k}. \quad (3.6)$$

Теорема 2. *Оптимальная поправка δu для задачи (3.1)-(3.2) вычисляется как*

$$\delta u^k = -(r_{uu}^k + (f_u^k)^T S_{k+1} f_u^k)^{-1}((f_u^k)^T S_{k+1} f_u^k \delta x + v^{k+1} + r_u^k), \quad (3.7)$$

где S_k и v^k высчитываются в обратном времени как

$$\begin{aligned} S_k &= \Phi_{21}^k + \Phi_{22}^k S_{k+1} (I - \Phi_{12}^k S_{k+1})^{-1} \Phi_{11}^k, \\ v^k &= \Phi_{22}^k S_{k+1} (I - \Phi_{12}^k S_{k+1})^{-1} (\Phi_{12}^k v^{k+1} + \Gamma_1^k) + \Phi_{22}^k v^{k+1} + \Gamma_2^k \end{aligned} \quad (3.8)$$

с граничными условиями

$$\begin{aligned} S_{N+1} &= q_{xx}^{N+1}, \\ v^{N+1} &= q_x^{N+1} + q_{xx}^{N+1} \bar{x}^{N+1}. \end{aligned} \quad (3.9)$$

Д о к а з а т е л ь с т в о. Предположим, что мультипликаторы λ имеют следующую аффинную форму относительно фазовой переменной δx

$$\lambda^k = S_k \delta x^k + v^k \quad (3.10)$$

Тогда из граничного условия (3.5) вытекает граничное условие на S_k, v^k (3.9):

$$\begin{aligned} \lambda^{N+1} &= q_x^{N+1} + q_{xx}^{N+1} (\bar{x}^{N+1} + \delta x^{N+1}) \\ &\Downarrow \\ S_{N+1} &= q_{xx}^{N+1}, v^{N+1} = q_x^{N+1} + q_{xx}^{N+1} \bar{x}^{N+1}. \end{aligned}$$

Теперь подставим (3.10) в выражение (3.6) для δx^{k+1} :

$$\delta x^{k+1} = \Phi_{11}^k \delta x^k + \Phi_{12}^k (S_{k+1} \delta x^{k+1} + v^{k+1}) + \Gamma_1^k.$$

Получаем

$$\delta x^{k+1} = \left(\underbrace{I - \Phi_{12}^k S_{k+1}}_{K_k} \right)^{-1} (\Phi_{11}^k \delta x^k + \Phi_{12}^k v^{k+1} + \Gamma_1^k).$$

Подставим получившееся выражение в (3.6) для λ^k :

$$\begin{aligned} \lambda^k &= S_k \delta x^k + v^k = \Phi_{21}^k \delta x^k + \Phi_{22}^k (S_{k+1} \delta x^{k+1} + v^{k+1}) + \Gamma_2^k = \\ &= \Phi_{21}^k \delta x^k + \Phi_{22}^k (S_{k+1} K_k^{-1} (\Phi_{11}^k \delta x^k + \Phi_{12}^k v^{k+1} + \Gamma_1^k) + v^{k+1}) + \Gamma_2^k. \end{aligned}$$

Таким образом получаем искомые соотношения (3.8):

$$\begin{aligned} S_k &= \Phi_{21}^k + \Phi_{22}^k S_{k+1} K_k^{-1} \Phi_{11}^k, \\ v^k &= \Phi_{22}^k (S_{k+1} K_k^{-1} (\Phi_{12}^k v^{k+1} + \Gamma_1^k) + v^{k+1}) + \Gamma_2^k. \end{aligned}$$

Итоговая формула для оптимальной поправки (3.7) получается прямой подстановкой получившихся соотношений в выражение (3.4). ■

Замечание 4. Приведенная теорема требует существование обратных матриц для K_k , $k = \overline{1, N}$. При этом для нелинейных систем данное условие может не выполняться. Чтобы метод продолжал работать, предлагается в случае нулевого определителя $\det K_k = 0$, заменять в формулах (3.7), (3.8) матрицу K_k на регуляризованную

$$\mathcal{K}_k = K_k + \mu I. \quad (3.11)$$

В данной работе при численном построении управления использовалась следующая константа регуляризации:

$$\mu = 10^{-8}.$$

Замечание 5. Данная теорема не учитывает возможные ограничения на управление, которые естественным образом возникают для данной задачи. Далее мы будем считать, что задано некоторое поточечное ограничение на управление $u^k \in \mathcal{U}^k$. В этом случае, мы будем считать домножать поправку на некоторую величину η , такую что $u^k + \eta \delta u^k \in \partial \mathcal{U}^k$.

Добавить замечание, почему только r_{ii} должна быть > 0 — типа лемма об обращении матриц.

Не забыть, что так как метод итеративный, нет надобности рассматривать большую систему с уравнение наблюдаемости, так как это предполагало бы, что каждая итерация алгоритма производится не на компьютере, где с наблюдаемостью все хорошо, а на настоящем человеке.

3.3 Регуляризация оптимальной поправки

Согласно Теореме 1 оптимальная поправка имеет следующую аффинную форму

$$\delta u^{k*} = L_k \delta x^k + d^k,$$

где L_k — коэффициент управления с обратной связью, d^k — коэффициент управления без обратной связи, возникающий по причине того, что мы имеем дело с отклонениями от заданного состояния.

Данная форма не налагает никаких ограничений на поправку δu . На практике это означает, что на начальных итерациях алгоритма, когда референсная траектория далека от оптимальной, поправка зачастую выводит систему за область действия аппроксимации. Визуально это выражается в том, что на каждой итерации алгоритм выдаёт некоторую случайную траекторию и в конечном итоге не сходится к оптимальной траектории. Чтобы избежать такого эффекта, необходимо регуляризовать коэффициент управления без обратной связи d^k :

$$\delta u^{k*}(\eta) = L_k \delta x^k + \eta d^k.$$

Теперь остается ответить на вопрос, как выбрать подходящий коэффициент регуляризации η . Это можно сделать двумя способами:

1. Дополнительно поточечно ограничить область допустимых управлений

$$u^k \in \mathcal{U}^k.$$

Тогда можно выбирать коэффициент следующим способом

$$\eta = \min\{\eta \mid \bar{u}^k + \delta u^{k*}(\eta) \in \mathcal{U}^k\}.$$

Такой способ предполагает один дополнительный проход алгоритма для поиска минимума, однако существенно замедляет скорость сходимости и накладывает ограничения, не предусмотренные исходной задачей.

2. Использовать ожидаемое отклонение от функции цены

$$\xi_1 \leq \frac{J(\bar{u}) - J(\bar{u} + \delta u)}{J_\delta(0) - J_\delta(\delta u^*(\eta))} \leq \xi_2.$$

Данные способ не накладывает никаких дополнительных ограничений. При этом для нахождения правильного коэффициента может потребоваться несколько итераций. Изначально выбирается $\eta = 1$, считается оптимальная поправка, если условие не выполнено, но коэффициент $\eta = \gamma\eta$.

3.4 Алгоритм

С учетом вышесказанного можно построить следующий алгоритм. Алгоритмы 1, 2 демонстрируют обратный и прямой проход для получения оптимальной поправки. Алгоритм 3 демонстрирует общий алгоритм построения управления.

Алгоритм 1: Обратный проход

```

function BackwardPass( $\bar{u}$ ,  $\bar{x}$ )
begin
     $S_{N+1}, v^{N+1} \leftarrow (3.9)$ 
    for  $k \leftarrow N$  to 1 do
         $S_k, v^k \leftarrow (3.8)$ 
    end

    return  $S, v$ 
end

```

Продемонстрируем работу алгоритма для классической задачи перехода в целевое состояние x^{final} без фазовых ограничений. Для этого будем использовать следующие компоненты функции цены:

$$q^{\text{final}}(x) = \|x - x^{\text{final}}\|^2, \quad q(x) \equiv 0. \quad (3.12)$$

Начальным референсным управлением выберем

$$\bar{u}^k = 0, \quad k = \overline{1, N}. \quad (3.13)$$

Алгоритм 2: Прямой проход

```
function ForwardPass( $\bar{u}$ ,  $\bar{x}$ )  
begin  
   $\eta, \gamma \leftarrow 1, \frac{1}{2}$   
  do  
    for  $k \leftarrow 1$  to  $N$  do  
       $\delta u^k, \delta x^{k+1} \leftarrow (3.7), (3.1)$   
       $u^k \leftarrow \bar{u}^k + \delta u^k$   
    end  
     $\eta \leftarrow \gamma \eta$   
  while  $\xi_1 \leq \frac{J_{\text{prev}} - J}{J_\delta(0) - J_\delta(\delta u)} \leq \xi_2$   
  return  $u$   
end
```

Алгоритм 3: Синтез управления

```
function Synthesis( $\bar{u}$ )  
begin  
   $J \leftarrow (\text{формула})$   
  do  
     $J_{\text{prev}} \leftarrow J$   
     $\bar{x} \leftarrow (\text{формула})$   
     $S, v \leftarrow \text{BackwardPass}(\bar{u}, \bar{x})$   
     $u \leftarrow \text{ForwardPass}(S, v, J_{\text{prev}})$   
     $J \leftarrow (\text{формула})$   
  while  $\|J - J_{\text{prev}}\| < \varepsilon$   
  return  $u$   
end
```

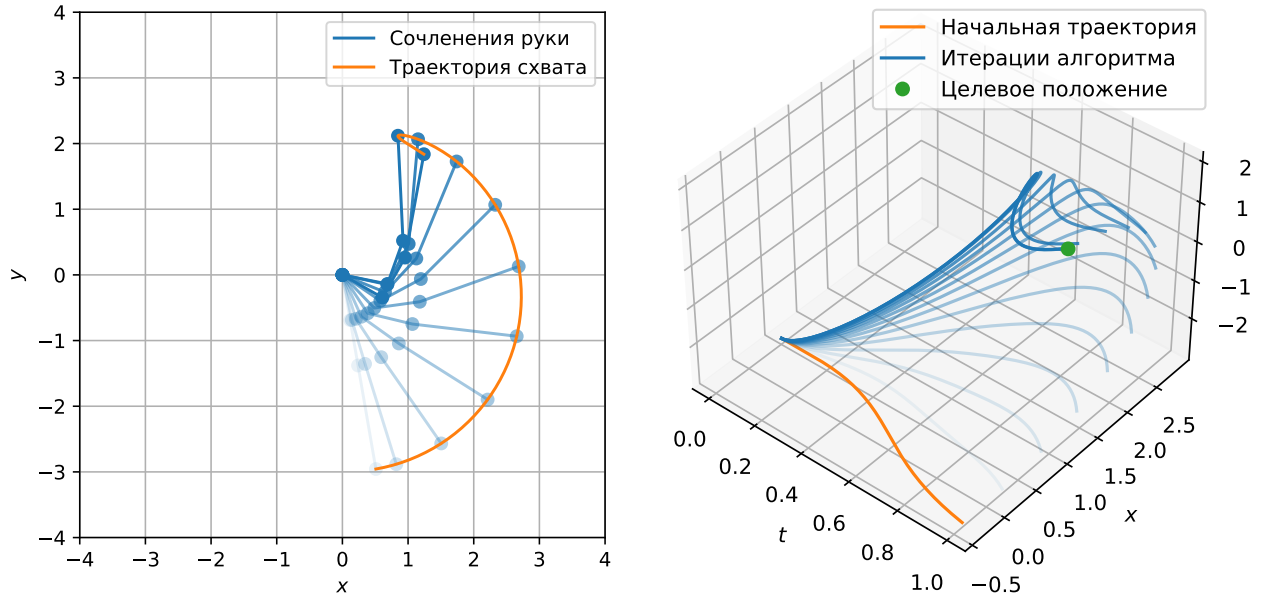


Рис. 3: Решение задачи перехода в целевое состояние (3.12) с начальным референсным управлением (3.13). Слева: поведение системы при полученном управлении. Справа: траектории схвата на каждой итерации алгоритма, более ранние итерации показаны бледнее. Начальное положение $x_1^{\text{start}} = [-1,4; -1,4; -1,4]^T$, $x_2^{\text{start}} = 0$, $x_3^{\text{start}} = 0$. Конечное положение $x_1^{\text{final}} = [-0,5; 1,1; 1,4]^T$, $x_2^{\text{final}} = [-5,0; -5,0; -5,0]^T$, $x_3^{\text{final}} = 0$. Коэффициент значимости энергетического критерия $w_2 = 10^{-2}$. Коэффициент остановки $\varepsilon = 10^{-2}$. Алгоритм сошелся на 14 итерации.

4 Синтез начального референсного управления

4.1 Описание метода

Скорость сходимости метода, приведенного в Разделе 4, зависит от выбора начального референсного управления \bar{u} . Считается, что в этом деле можно положиться на мнение эксперта в предметной области, который нарисует траекторию системы \bar{x} и мы потом решим задачу идентификации управления \bar{u} , приводящего к такой траектории методом следящего управления.

Для того, чтобы использовать метод необходимо, чтобы он:

1. Строил управление *быстро*. Желательно, чтобы алгоритм имел линейную асимптотику.
2. Получившаяся референсная траектория была близка к оптимальной.
3. Получившаяся референсная траектория была бы возможной для рассматриваемой задачи. Это важно, если в задаче присутствуют строгие ограничения на управление.

В отсутствии эксперта, предлагается использовать следующий метод, удовлетворяющий этим условиям.

1. Необходимо аналитически найти состояние системы, которое минимизирует терминальное условие

$$x^{\text{final}} \in \text{Argmin } q^{\text{final}}(x).$$

2. Привести систему к линейной и поставить для нее задачу минимизации интегрально-квадратичного функционала для перехода в состояние x^{final} .
3. Построить линейно-квадратичный регулятор для полученной задачи. Тем самым мы получим управление, которое минимизирует терминальное условие, но ничего не говорит об энергетическом и фазовом условиях. Тем не менее такой подход будет работать лучше, чем выбор случайного управления.

В случае, если мы можем аналитически найти несколько минимизаторов терминального условия, можно провести перебор с последующим выбором самого подходящего управления.

4.2 Синтез управления

Приведём систему (2.4) к линейному виду заменой управления на

$$\hat{u} = M^{-1}(x_1)[\tau - L(x_1, x_2)]. \quad (4.1)$$

Тогда в фазовом пространстве $\hat{x} = [x_1, x_2]^T \in \mathbb{R}^6$ задача Коши примет вид

$$\begin{cases} \hat{x}^{k+1} = \hat{A}\hat{x}^k + \hat{B}\hat{u}^k \\ \hat{x}^0 = x^{\text{start}}, \end{cases} \quad (4.2)$$

где

$$\hat{A} = \left(\begin{array}{c|c} I & \Delta t I \\ \hline O & I \end{array} \right), \quad \hat{B} = \left(\begin{array}{c} O \\ \hline \Delta t I \end{array} \right).$$

Будем считать, что для исходной задачи задачи (??) известно некоторое состояние x^{final} , минимизирующее терминальное условие q^{final} , то есть

$$x^{\text{final}} \in \text{Argmin } q^{\text{final}}(x).$$

В таком случае для задачи Коши (4.2) поставим задачу минимизации следующего функционала

$$J = \|\hat{x}^{N+1} - x^{\text{final}}\|^2 + \hat{w}_1 \sum_{k=1}^N \langle \hat{x}^k, \hat{Q}\hat{x}^k \rangle + \hat{w}_2 \sum_{k=1}^N \|\hat{u}^k\|^2 \longrightarrow \min. \quad (4.3)$$

Здесь матрица $\hat{Q} = \hat{Q}^T$ выбирается для исключения возможного *проворачивания* сочленений относительно друг друга следующим образом

$$\hat{Q} = \left(\begin{array}{ccc|c} 2 & -1 & 0 & O \\ -1 & 2 & -1 & O \\ 0 & -1 & 1 & O \\ \hline O & O & O & O \end{array} \right). \quad (4.4)$$

Иными словами матрица \hat{Q} является матрицей следующей квадратичной формы

$$\langle \hat{x}, \hat{Q}\hat{x} \rangle = \theta_1^2 + (\theta_2 - \theta_1)^2 + (\theta_3 - \theta_2)^2.$$

Данное фазовое условие штрафует траекторию в случае большого относительного отклонения между углами сочленений.

После решения задачи (4.2)-(4.3) мы можем восстановить соответствующее управление исходной задачи. Пусть \hat{u}^* , \hat{x}^* — оптимальное управление и соответствующая ему оптимальная траектория задачи (4.2)-(4.3). Тогда соответствующее управление для исходной задачи u , можно получить по формуле

$$u^k = \frac{\hat{\tau}^{k+1} - \hat{\tau}^k}{\Delta t}, \quad (4.5)$$

где

$$\begin{cases} \hat{\tau}^k = M(\hat{x}_1^{k*})\hat{u}^{k*} + L(\hat{x}_1^{k*}, \hat{x}_2^{k*}), \text{ при } k = \overline{1, N} \\ \hat{\tau}^{N+1} = 0. \end{cases}$$

Построим гамильтониан задачи (4.2)-(4.3)

$$\hat{H}_k = \langle \hat{x}^k, \hat{w}_1 \hat{Q} \hat{x}^k \rangle + \langle \hat{u}^k, \hat{w}_2 \hat{u}^k \rangle + (\hat{\lambda}^{k+1})^T [\hat{A} \hat{x}^k + \hat{B} \hat{u}^k]. \quad (4.6)$$

Оптимальное управление \hat{u}^* должно удовлетворять необходимому условию оптимальности:

$$\left. \frac{\partial \hat{H}_k}{\partial \hat{u}^k} \right|_{\hat{u}^k = \hat{u}^{k*}} = \hat{w}_2 \hat{u}^{k*} + \hat{B}^T \hat{\lambda}^{k+1} = 0,$$

что дает следующее выражение для управления

$$\hat{u}^{k*} = -\frac{1}{\hat{w}_2} \hat{B}^T \hat{\lambda}^{k+1}. \quad (4.7)$$

И уравнение (4.2) можно переписать в следующем виде:

$$\hat{x}^{k+1} = \hat{A} \hat{x}^k - \frac{1}{\hat{w}_2} \hat{B} \hat{B}^T \hat{\lambda}^{k+1}. \quad (4.8)$$

При этом имеет силу следующая сопряженная система:

$$\begin{cases} \hat{\lambda}^k = \hat{w}_1 \hat{Q} \hat{x}^k + \hat{A}^T \hat{\lambda}^{k+1}, \text{ при } k = \overline{1, N} \\ \hat{\lambda}^{N+1} = \hat{x}^{N+1} - x^{\text{final}} \end{cases} \quad (4.9)$$

Теорема 3. *Оптимальное управление \hat{u}^* задачи (4.2)-(4.3) задается формулой*

$$\hat{u}^{k*} = \hat{L}_k \hat{x}^k + \hat{d}^k, \quad (4.10)$$

где

$$\begin{aligned} \hat{L}_k &= -\frac{1}{\hat{w}_2} \hat{B}^T S_{k+1} \left(I + \frac{1}{\hat{w}_2} \hat{B} \hat{B}^T S_{k+1} \right)^{-1} \hat{A}, \\ \hat{d}^k &= -\frac{1}{\hat{w}_2} \hat{B}^T \left(I - S_{k+1} \left(I + \frac{1}{\hat{w}_2} \hat{B} \hat{B}^T S_{k+1} \right)^{-1} \hat{B} \hat{B}^T \right) v^{k+1}. \end{aligned}$$

Причем переменные S_k , v^k могут быть найдены в обратном времени из соотношений

$$\begin{aligned} S_k &= \hat{w}_1 \hat{Q} + \hat{A}^T S_{k+1} \left(I + \frac{1}{\hat{w}_2} \hat{B} \hat{B}^T S_{k+1} \right)^{-1} \hat{A}, \\ v_k &= \hat{A}^T \left(I - \frac{1}{\hat{w}_2} S_{k+1} \left(I + \frac{1}{\hat{w}_2} \hat{B} \hat{B}^T S_{k+1} \right)^{-1} \hat{B} \hat{B}^T \right) v^{k+1} \end{aligned} \quad (4.11)$$

с граничными условиями

$$\begin{aligned} S_{N+1} &= I, \\ v^{N+1} &= -x^{\text{final}}. \end{aligned} \quad (4.12)$$

Д о к а з а т е л ь с т в о. Аналогично доказательству теоремы (1) будем искать решение сопряженной системы в аффинном виде

$$\hat{\lambda}^k = S_k \hat{x}^k + v^k. \quad (4.13)$$

Из сопряженной системы (4.9) получаем граничные условия:

$$\hat{\lambda}^{N+1} = \hat{x}^{N+1} - x^{\text{final}} \implies S_{N+1} = I, \quad v^{N+1} = -x^{\text{final}}.$$

Подставив выражение (4.13) в уравнение (4.8), получим

$$\hat{x}^{k+1} = \hat{A} \hat{x}^k - \frac{1}{\hat{w}_2} \hat{B} \hat{B}^T (S_{k+1} \hat{x}^{k+1} + v^{k+1}),$$

откуда выражаем

$$\hat{x}^{k+1} = \left(\underbrace{I + \frac{1}{\hat{w}_2} \hat{B} \hat{B}^T S_{k+1}}_{K_k} \right)^{-1} \left(\hat{A} \hat{x}^k - \frac{1}{\hat{w}_2} \hat{B} \hat{B}^T v^{k+1} \right).$$

Теперь подставим получившееся выражение в (4.9):

$$\begin{aligned} \hat{\lambda}^k &= S_k \hat{x}^k + v^k = \hat{w}_1 \hat{Q} \hat{x}^k + \hat{A}^T (S_{k+1} \hat{x}^{k+1} + v^{k+1}) = \\ &= \hat{w}_1 \hat{Q} \hat{x}^k + \hat{A}^T S_{k+1} K_k^{-1} \left(\hat{A} \hat{x}^k - \frac{1}{\hat{w}_2} \hat{B} \hat{B}^T v^{k+1} \right) + \hat{A}^T v^{k+1} = \\ &= \left(\hat{w}_1 \hat{Q} + \hat{A}^T S_{k+1} K_k^{-1} \hat{A} \right) \hat{x}^k + \hat{A}^T \left(I - \frac{1}{\hat{w}_2} S_{k+1} K_k^{-1} \hat{B} \hat{B}^T \right) v^{k+1}. \end{aligned}$$

Откуда получаем искомые соотношения:

$$S_k = \hat{w}_1 \hat{Q} + \hat{A}^T S_{k+1} \left(I + \frac{1}{\hat{w}_2} \hat{B} \hat{B}^T S_{k+1} \right)^{-1} \hat{A},$$

$$v_k = \hat{A}^T \left(I - \frac{1}{\hat{w}_2} S_{k+1} \left(I + \frac{1}{\hat{w}_2} \hat{B} \hat{B}^T S_{k+1} \right)^{-1} \hat{B} \hat{B}^T \right) v^{k+1}.$$

Теперь выражение для оптимального управления (4.10) получается прямой подстановкой получившихся соотношений в выражение (4.7). ■

4.3 Алгоритм

Алгоритм 4 резюмирует метод, предложенный в данном разделе.

На Рис. 4 представлен результат работы алгоритма для задачи (??) с построенным начальным управлением.

Замечание 6. С физической точки зрения решение данной задачи минимизирует угловые ускорения сочленений руки. Таким образом результирующая траектория будет самой плавной из возможных. Кажется естественным, чтобы такая траектория входило в множество допустимых управлений для исходной задачи.

Алгоритм 4: Поиск начальной траектории

```
function InitialControl
begin
    /* Обратный проход */
     $S_{N+1}, v^{N+1} \leftarrow (4.12)$ 
    for  $k \leftarrow N$  to 1 do
        |  $S_k, v^k \leftarrow (4.11)$ 
    end

    /* Прямой проход */
     $\hat{x}^0 \leftarrow x^{\text{start}}$ 
    for  $k \leftarrow 1$  to  $N$  do
        |  $\hat{u}^k, \hat{x}^{k+1} \leftarrow (4.10), (4.2)$ 
    end

    /* Конвертация управления */
    for  $k \leftarrow 1$  to  $N$  do
        |  $u^k \leftarrow (4.5)$ 
    end
    return  $u$ 
end
```

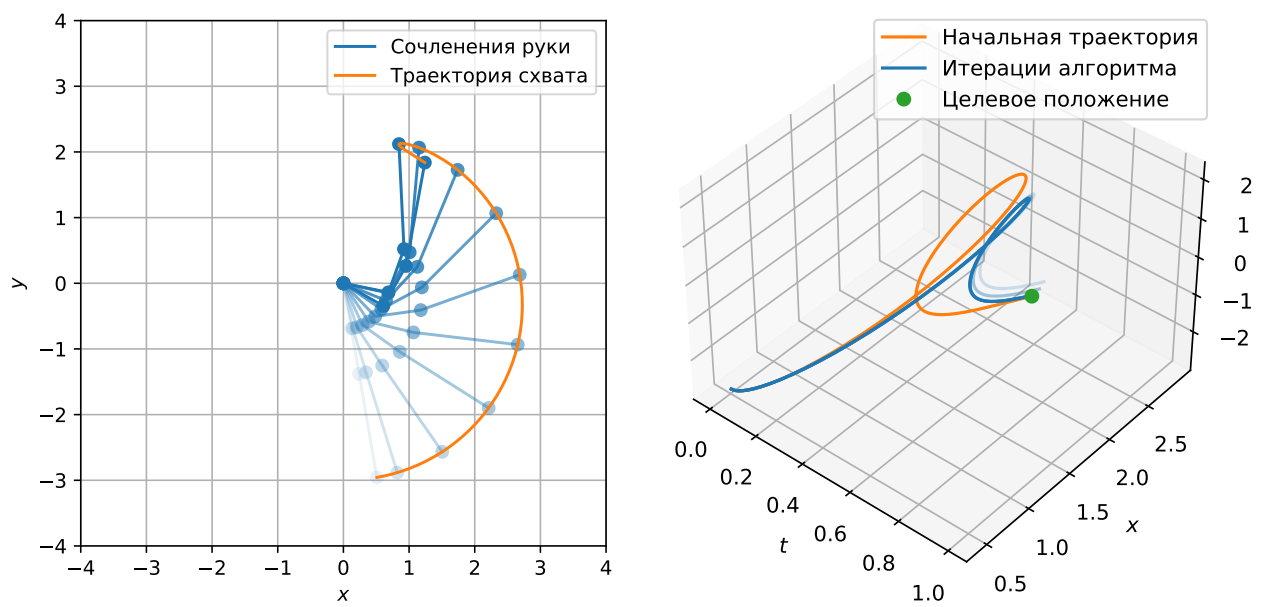


Рис. 4: Оптимальная траектория и траектории схвата на различных итерациях алгоритма при решении задачи (??) с начальным управлением, построенным методом из данного раздела. Алгоритм сошелся на 4 итерации.

[5]

Список литературы

- [1] Ernesto G. Birgin and J. M. Martínez. *Practical augmented Lagrangian methods*. Springer US, Boston, MA, 2009.
- [2] M. Jordan E. Todorov. Optimal feedback control as a theory of motor coordination. *Nature Neuroscience*, 5(11):1226–1235, 2002.
- [3] C. M. Harris and D. M. Wolpert. Signal-dependent noise determines motor planning. *Nature*, 394, August 1998.
- [4] N. Hogan. An organizing principle for a class of voluntary movement. *Journal of Neuroscience*, 4(11):2745–2754, 1984.
- [5] Donald E. Knuth. *The T_EX Book*. Addison-Wesley Professional, 1986.
- [6] Weiwei Li and Emanuel Todorov. Iterative linear quadratic regulator design for nonlinear biological movement systems. In *ICINCO (1)*, pages 222–229. Citeseer, 2004.
- [7] Z. Manchester and S. Kuindersma. Derivative-free trajectory optimization with unscented dynamic programming. In *2016 IEEE 55th Conference on Decision and Control (CDC)*, pages 3642–3647, 2016.
- [8] D. Mayne. A second-order gradient method for determining optimal trajectories of non-linear discrete-time systems. *International Journal of Control*, 3(1):85–95, 1966.
- [9] D. Murray and S. Yakowitz. Differential dynamic programming and newton’s method for discrete optimal control problems. *Journal of Optimization Theory and Applications*, 43(3):395–414, 1984.
- [10] M. Kawato Y. Uno and R. Suzuki. Formation and control of optimal trajectory in human multijoint arm movement - minimum torque-change model. *Biological Cybernetics*, 61(2):89–101, 1989.
- [11] С. А. Колюбин. *Динамика робототехнических систем*. Редакционно-издательский отдел Университета ИТМО, Санкт-Петербург, 2017.